

# INF 2310 – Digital bildebehandling

En kort midtveis-repetisjon

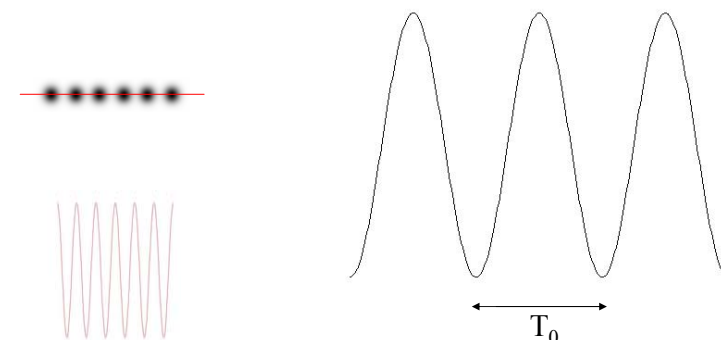
Fritz Albregtsen

20.03.2012

INF2310

1

## Romlig frekvens



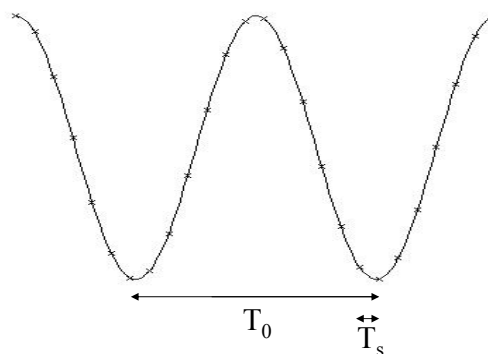
- Periode  $T_0$  (f.eks. i mm eller  $\mu\text{m}$ )
- Frekvens  $f_0 = 1/T_0$

20.03.2012

INF2310

2

## Sampling av kontinuerlige signaler



- Samplingsperiode  $T_s$
- Samplingsfrekvens  $f_s = 1/T_s$  (også kalt samplingsrate)
- Hvor ofte må man sample for å kunne rekonstruere signalet?

20.03.2012

INF2310

3

## Samplingsteoremet (Shannon/Nyquist)

- Anta at det kontinuerlige bildet er båndbegrenset, dvs. det inneholder ikke høyere frekvenser enn  $f_{\max}$
- Det kontinuerlige bildet kan rekonstrueres fra det digitale bildet dersom samplingsraten  $f_s = 1/T_s$  er større enn  $2 f_{\max}$  (altså  $T_s < \frac{1}{2}T_0$ )
- $2 f_{\max}$  kalles Nyquist-raten
- I praksis oversampler vi med en viss faktor for å kunne få god rekonstruksjon.

20.03.2012

INF2310

4

## Undersampling/aliasing

- Undersampling (sample med lavere samplingsrate enn Nyquist-kriteriet) medfører **aliasing**.
- Ved undersampling forvenges frekvensinnholdet og det digitale bildet inneholder ikke de samme frekvenser som det kontinuerlige bildet.
- Sampling av en sinusoid med for lav samplingsrate gir en diskret sinusoid med lavere frekvens.
- Aliasfrekvens er gitt ved  
$$f_a = f_s - f \text{ når } f < f_s < 2f$$

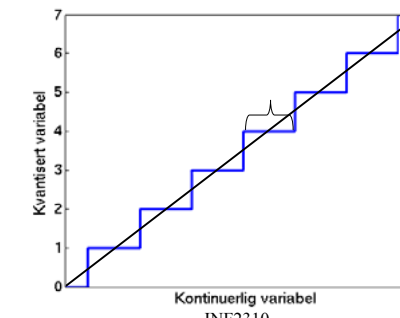
20.03.2012

INF2310

5

## Kvantisering

- Hvert piksel lagres med  $n$  biter.
- Pikselet kan da inneholde heltallsverdier fra 0 til  $2^n - 1$
- Kvantiseringsfeil
  - $\Sigma$  (over bildet) av hvert piksels avrundingsfeil



20.03.2012

INF2310

6

## Geometriske operasjoner

- Endrer på pikselenes posisjoner
- Første steg i denne prosessen:
  - Transformer pikselkoordinatene  $(x,y)$  til  $(x',y')$ :  
$$x' = T_x(x,y)$$
  
$$y' = T_y(x,y)$$
  
–  $T_x$  og  $T_y$  er ofte gitt som polynomer.
- Siden pikselkoordinatene må være heltall, må vi deretter bruke interpolasjon til å finne pikselverdien (gråtonen) i den nye posisjonen.

20.03.2012

INF2310

7

## Affine transformer

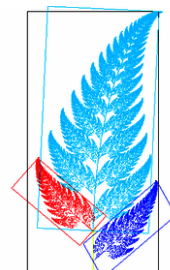
- Transformerer pikselkoordinatene  $(x,y)$  til  $(x',y')$ :

$$x' = T_x(x,y)$$

$$y' = T_y(x,y)$$

- Affine transformer beskrives ved:

$$\begin{aligned}x' &= a_0x + a_1y + a_2 \\y' &= b_0x + b_1y + b_2\end{aligned}$$



- På matriseform:

$$\begin{bmatrix} x' \\ y' \\ 1 \end{bmatrix} = \begin{bmatrix} a_0 & a_1 & a_2 \\ b_0 & b_1 & b_2 \\ 0 & 0 & 1 \end{bmatrix} \begin{bmatrix} x \\ y \\ 1 \end{bmatrix} \text{ eller } \begin{bmatrix} x' \\ y' \end{bmatrix} = \begin{bmatrix} a_0 & a_1 \\ b_0 & b_1 \end{bmatrix} \begin{bmatrix} x \\ y \end{bmatrix} + \begin{bmatrix} a_2 \\ b_2 \end{bmatrix}$$

20.03.2012

INF2310

8

## Eksempler på enkle transformer - I

Transformasjon	$a_0$	$a_1$	$a_2$	$b_0$	$b_1$	$b_2$	Uttrykk
Identitet	1	0	0	1	0	0	$x' = x$ $y' = y$
Skalering	$s_1$	0	0	0	$s_2$	0	$x' = s_1 x$ $y' = s_2 y$
Rotasjon	$\cos\theta$	$-\sin\theta$	0	$\sin\theta$	$\cos\theta$	0	$x' = x \cos\theta - y \sin\theta$ $y' = x \sin\theta + y \cos\theta$



$$\begin{bmatrix} x' \\ y' \\ 1 \end{bmatrix} = \begin{bmatrix} a_0 & a_1 & a_2 \\ b_0 & b_1 & b_2 \\ 0 & 0 & 1 \end{bmatrix} \begin{bmatrix} x \\ y \\ 1 \end{bmatrix}$$

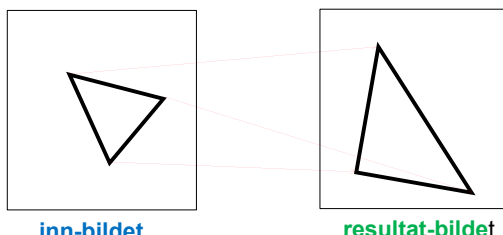
20.03.2012

INF2310

9

### Alternativ måte å finne transformkoeffisientene

- En affin transform kan bestemmes ved å spesifisere tre punkter før og etter avbildningen



- Med disse tre punktparene kan vi finne de 6 koeffisientene;  $a_0, a_1, a_2, b_0, b_1, b_2$
- Med flere enn 3 punktpar velger man den transformasjonen som minimerer (kvadrat-)feilen sumert over alle punktene (mer om dette senere)

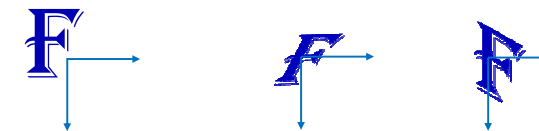
20.03.2012

INF2310

11

## Eksempler på enkle transformer - II

Transformasjon	$a_0$	$a_1$	$a_2$	$b_0$	$b_1$	$b_2$	Uttrykk
Translasjon	1	0	$\Delta x$	0	1	$\Delta y$	$x' = x + \Delta x$ $y' = y + \Delta y$
Horisontal "shear" med faktor $s_1$	1	$s_1$	0	0	1	0	$x' = x + s_1 y$ $y' = y$
Vertikal "shear" med faktor $s_2$	1	0	0	$s_2$	1	0	$x' = x$ $y' = s_2 x + y$



$$\begin{bmatrix} x' \\ y' \\ 1 \end{bmatrix} = \begin{bmatrix} a_0 & a_1 & a_2 \\ b_0 & b_1 & b_2 \\ 0 & 0 & 1 \end{bmatrix} \begin{bmatrix} x \\ y \\ 1 \end{bmatrix}$$

20.03.2012

INF2310

10

## Forlengs-mapping

for all  $x',y'$  do  $g(x',y') = 0$

$a_0 = \cos \theta$   
 $a_1 = -\sin \theta$   
 $b_0 = \sin \theta$   
 $b_1 = \cos \theta$

for all  $x,y$  do

$x' = \text{round}(a_0 x + a_1 y)$   
 $y' = \text{round}(b_0 x + b_1 y)$   
if  $(x',y')$  inside  $g$   
 $g(x',y') = f(x,y)$   
end

**Eksempel:**  
**Enkel rotasjon ved transformen:**

$$\begin{bmatrix} x' \\ y' \\ 1 \end{bmatrix} = \begin{bmatrix} \cos \theta & -\sin \theta & 0 \\ \sin \theta & \cos \theta & 0 \\ 0 & 0 & 1 \end{bmatrix} \begin{bmatrix} x \\ y \\ 1 \end{bmatrix}$$

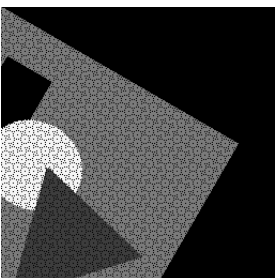
Flytter de posisjonstransformerte pikselposisjonene til nærmeste pikselposisjon i utbillet.

Skriver innbildets  $f(x,y)$  inn i  $g(x',y')$

INF2310

12

## Forlengs-mapping, forts.



Problemer:

- Ikke alle utpixler får verdi (hullene i bildet)
- Unødig beregning av pikselkoordinater som allikevel ikke blir synlige (ender utenfor utbildet)
- Samme utbilde-piksel kan bli satt flere ganger

## Baklengs-mapping

$$a_0 = \cos(-\theta)$$

$$a_1 = -\sin(-\theta)$$

$$b_0 = \sin(-\theta)$$

$$b_1 = \cos(-\theta)$$

```
for alle x',y' do
    x = round(a0x'+a1y')
    y = round(b0x'+b1y')
    if (x,y) inside f
        g(x',y') = f(x,y)
    else
        g(x',y')=0
    end
```

Samme eksempel som ved forlengs-mappingen.

NB: (x,y) rotert med  $\theta$  ga (x',y') (x',y') rotert med  $-\theta$  gir (x,y)

**Resample bildet.**  
Her; for hvert utbilde-piksel, invers-transformér, og velg nærmeste piksel fra innbildet.

**For hver pikselposisjon i ut-bildet:**  
Hent pikselverdi fra innbildet.

20.03.2012

INF2310

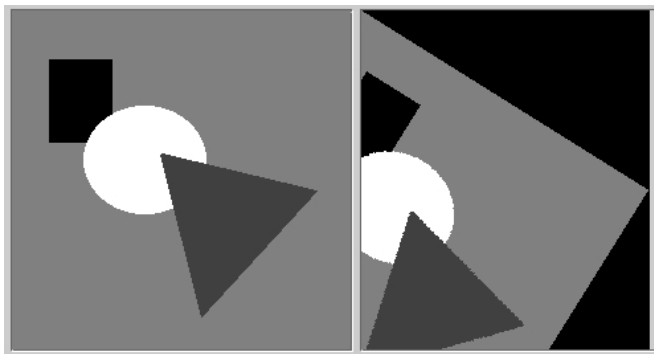
13

20.03.2012

INF2310

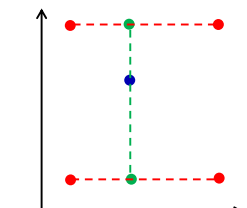
14

## Baklengs-mapping, forts.



## Bilineær interpolasjon - I

- Anta at vi kjenner gråtoneverdien i fire nabo-punkter
- Ønsker å estimere gråtonen i et mellomliggende punkt.
- Gjør to lineære interpolasjoner i én retning først, f.eks i x-retning:  
$$f(x, y_1) \approx \frac{(x_2 - x)}{(x_2 - x_1)} f(x_1, y_1) + \frac{(x - x_1)}{(x_2 - x_1)} f(x_2, y_1)$$
 og  
$$f(x, y_2) \approx \frac{(x_2 - x)}{(x_2 - x_1)} f(x_1, y_2) + \frac{(x - x_1)}{(x_2 - x_1)} f(x_2, y_2)$$
- Så én interpolasjon i ortogonal retning:  
$$f(x, y) \approx \frac{(y_2 - y)}{(y_2 - y_1)} f(x, y_1) + \frac{(y - y_1)}{(y_2 - y_1)} f(x, y_2)$$
- Resultatet er uavhengig av rekkefølgen.
- Den interpolerte flaten er kvadratisk (krum), men lineær langs linjer parallele med aksene.



20.03.2012

INF2310

15

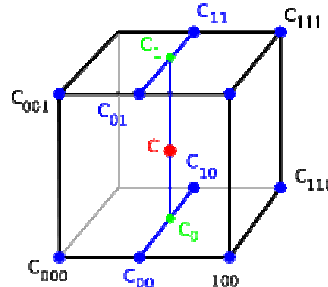
20.03.2012

INF2310

16

## Trilineær interpolasjon

- Utvidelsen fra 2D til 3D kalles *trilineær* interpolasjon, og er en lineær interpolasjon mellom resultatene av to bilineære interpolasjoner.
- Resultatet er igjen uavhengig av rekkefølgen.



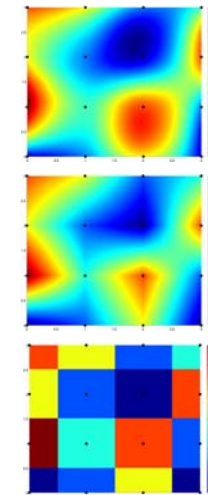
20.03.2012

INF2310

17

## Interpolasjon – en sammenligning

- Bi-kubisk interpolasjon gir glattere flater enn bilineær, men er mer regnekrevende; bruker  $4 \times 4 = 16$  piksler.
- Bi-lineær interpolasjon bruker  $2 \times 2 = 4$  piksler. Derivert er ikke kontinuerlig over flaten.
- Nærmeste nabo gir 2D trappefunksjon, med diskontinuitet midt mellom punktene.



20.03.2012

INF2310

18

## Normalisert histogram

- Vi har at  $\sum_{i=0}^{G-1} h(i) = n \times m$
- Det normaliserte histogrammet er:

$$p(i) = \frac{h(i)}{n \times m}, \quad \sum_{i=0}^{G-1} p(i) = 1$$

- $p(i)$  kan ses på som en **sannsynlighetsfordeling** for pikselverdiene i  
– "Uavhengig" av antall piksler i bildet
- Man kan si en del om bildet ut fra denne sannsynlighets-tethetsfunksjonen

20.03.2012

INF2310

19

## Kumulativt histogram

- Hvor mange piksler har gråtone mindre enn eller lik gråtone  $j$ ?

$$c(j) = \sum_{i=0}^j h(i)$$

- Normalisert kumulativt histogram:

$$\frac{c(j)}{n \times m}$$

(Sannsynligheten for at en tilfeldig piksel er mindre eller lik gråtone  $j$ )

INF2310

20

## Lineær avbilding

- Lineær strekking

$$T[i] = a i + b$$

$$g(x, y) = a f(x, y) + b$$

- $a$  regulerer kontrasten, og  $b$  "lysheten"
- $a > 1$ : mer kontrast
- $a < 1$ : mindre kontrast
  - Q: Når og hvordan påvirker  $a$  middelverdien?
- $b$ : flytter alle gråtoner  $b$  nivåer
- Negativer:  $a = -1$ ,  $b = \text{maxverdi for bildetypen}$

20.03.2012

INF2310

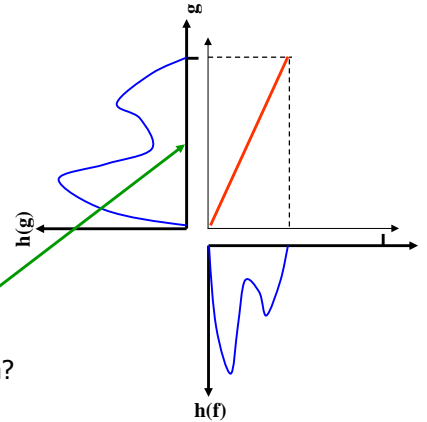
21

## Endre kontrasten

- Multiplisere hver pikselverdi med en faktor  $a$ :

$$g(x, y) = a f(x, y)$$

- Hvis  $a > 1$ , kontrasten øker
- Hvis  $a < 1$ , kontrasten minker
- Eks: Bruke hele intensitetsskalaen
- Q: Hva skjer med middelverdien?



20.03.2012

INF2310

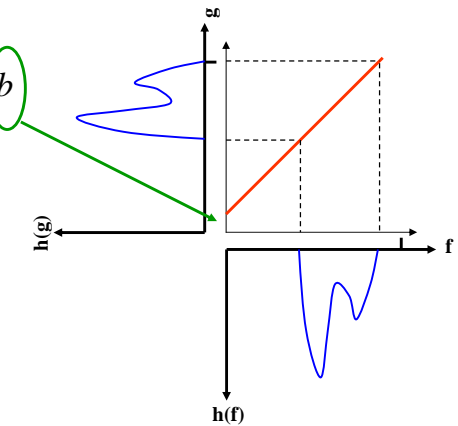
23

## Endre "lysheten" (brightness)

- Legge til en konstant  $b$  til alle pikselverdiene

$$g(x, y) = f(x, y) + b$$

- Hvis  $b > 0$ , alle pikselverdiene øker, og bildet blir lysere
- Hvis  $b < 0$ , bildet blir mørkere
- Histogrammet flyttes opp eller ned med  $b$
- **Middelverdien endres!**



20.03.2012

INF2310

22

## Justerering av $\mu$ og $\sigma^2$

- Gitt inn-bilde med middelverdi  $\mu$  og varians  $\sigma^2$
- Anta en lineær gråtone-transform  $T[i] = ai + b$
- Ny middelverdi  $\mu_T$  og varians  $\sigma_T^2$  er da gitt ved

$$\mu_T = \sum_{i=0}^{G-1} T[i] p(i) = a\mu + b$$

$$\begin{aligned} \sigma_T^2 &= \sum_{i=0}^{G-1} T[i]^2 p(i) - \left( \sum_{i=0}^{G-1} T[i] p(i) \right)^2 \\ &= \sum_{i=0}^{G-1} (a^2 i^2 + 2ai b + b^2) p(i) - \left( \sum_{i=0}^{G-1} (ai + b) p(i) \right)^2 \\ &= a^2 \left( \sum_{i=0}^{G-1} i^2 p(i) - \left( \sum_{i=0}^{G-1} i p(i) \right)^2 \right) = a^2 \sigma^2 \end{aligned}$$

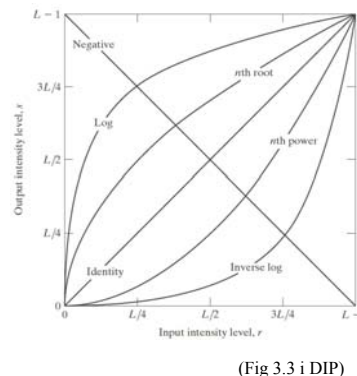
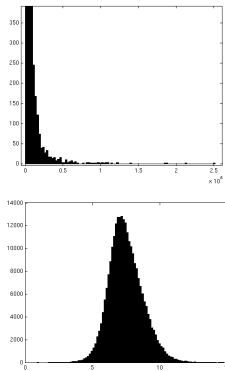
- Dvs.  
 $a = \sigma_T / \sigma$ ,  $b = \mu_T - a\mu$
- Vi kan altså
  - velge nye  $\mu_T$  og  $\sigma_T^2$ ,
  - beregne  $a$  og  $b$ ,
  - anvende  $T[i] = ai + b$  på inn-bildet
  - og få et ut-bilde med riktig  $\mu_T$  og  $\sigma_T^2$

INF2310

24

## Logaritmiske transformasjoner

- Hvilken av transformasjonene til høyre er brukt her?



20.03.2012

INF2310

25

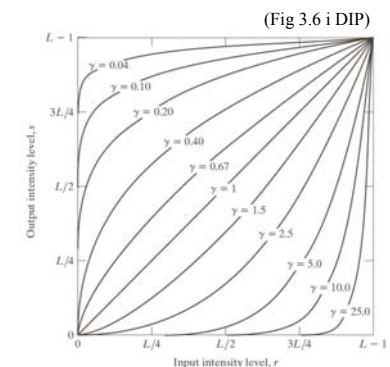
## Power-law (gamma)-transformasjoner

- Mange bildeproduserende apparater har et input/output-forhold som kan beskrives som:

$$s = ci^\gamma$$

der  $s$  er ut-intensiteten ved en input  $i$

- Kan korrigeres ved gråtonetransformen  $T[i] = i^{1/\gamma}$
- Generell kontrast-manipulasjon
  - Brukvennlig med kun én variabel



20.03.2012

INF2310

26

## Algoritme for histogramutjevning

- For et  $n \times m$  bilde med  $G$  gråtoner:
  - Lag array  $p$ ,  $c$  og  $T$  av lengde  $G$  med initialverdi 0
- Finn bildets normaliserte histogram
  - Gå igjennom bildet piksel for piksel.
  - Hvis piksel har intensitet  $i$ , la  $p[i] = p[i] + 1$
  - Deretter skalér,  $p[i] = p[i]/(n*m)$ ,  $i=0,1,\dots,G-1$
- Lag det kumulative histogrammet  $c$ 
  - $c[0] = p[0]$ ,  $c[i] = c[i-1] + p[i]$ ,  $i=1,2,\dots,G-1$
- Sett inn verdier i transform-array  $T$ 

$$T[i] = \text{Round}( (G-1)*c[i] ), \quad i=0,1,\dots,G-1$$
- Gå igjennom bildet piksel for piksel,  
Hvis bildet har intensitet  $i$ , sett intensitet i utbildet til  $s=T[i]$

20.03.2012

INF2310

27

## Histogramtilpasning

- Histogramutjevning gir flatt histogram
- Kan spesifisere annen form på resultathistogrammet:
  - Gjør histogramutjevning på innbildet, finn  $s=T(i)$
  - Spesifiser ønsket nytt histogram  $g(z)$
  - Finn den transformen  $T_g$  som histogramutjevner  $g(z)$  og inverstransformen  $T_g^{-1}$
  - Inverstransformer det histogramutjevnede bildet fra punkt 1 ved  $z=T_g^{-1}(s)$

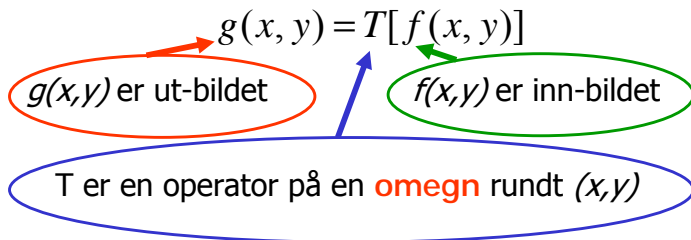
20.03.2012

INF2310

28

## Lokale operasjoner i bilder

- Vi skal bare se på teknikker i bilde-domenet
- Bilde-domenet refererer til mengden av piksler som utgjør det digitale bildet.
- Bildeplan-metoder opererer på disse pikslene og gir:



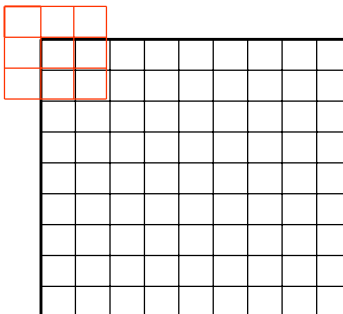
20.03.2012

INF2310

29

## Praktiske problemer

- Kan ut-bildet ha samme piksel-representasjon som inn-bildet?
- Trenger vi et mellom-lager?
- Hva gjør vi langs bilde-randen?
- Anta at bildet er  $M \times N$  piksler
- Anta at filteret er  $m \times n$  ( $m=2m_2+1$ ,  $n=2n_2+1$ )
- Uberørt av rand-effekt:  $(M-2m_2) \times (N-2n_2)$   
3x3:  $(M-2) \times (N-2)$   
5x5:  $(M-4) \times (N-4)$



20.03.2012

INF2310

31

## Utregning av 2-D konvolusjon

$$g(x, y) = \sum_{j=x-w_1}^{x+w_1} \sum_{k=y-w_2}^{y+w_2} h(x-j, y-k) f(j, k)$$

- For å regne ut resultatet av en konvolusjon for posisjon  $(x, y)$ :
  - Roter masken 180 grader, legg den over bildet slik at minst en posisjon overlapper med bildet.
  - Multipliser hvert element i masken med underliggende pikselverdi.
  - Summen av produktene gir verdien for  $g(x, y)$  i posisjon  $(x, y)$ .

- For å regne ut resultatet for alle posisjoner:
  - Flytt masken piksel for piksel og gjenta operasjonene over.
- Vi bruker notasjonen

$$g = h * f$$

der  $*$  er konvolusjons-operatoren

20.03.2012

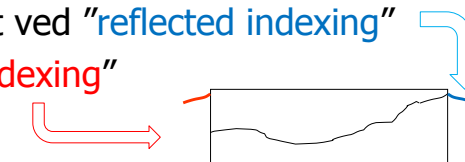
INF2310

30

## Hva gjør vi langs randen?

Alternativer:

- Sett  $g(x, y) = 0$
- Sett  $g(x, y) = f(x, y)$
- Trunkér ut-bildet
- Trunkér konvolusjons-masken  $h$
- Utvid bildet ved "reflected indexing"
- "Circular indexing"



20.03.2012

INF2310

32

## Et lite tips om konvolusjon

- Når vi konvolverer et filter med et bilde:
  - Er vi interessert i å lage et nytt bilde med samme størrelse som input-bildet.
  - Vi bruker en av teknikkene fra forrige foil.
- Når vi konvolverer en filter-kjerne med en annen filter-kjerne:
  - Vi vil lage effektiv implementasjon av et stort filter med en kombinasjon av enkle, separable filtre.
  - Vi beregner resultatet for alle posisjoner der de to filter-kjernene gir overlapp.

20.03.2012

INF2310

33

## Lavpass-filtre

- Slipper gjennom lave frekvenser, og demper eller fjerner høye frekvenner.
  - Høye frekvenser = skarpe kanter, støy, detaljer.
- Effekt: "blurring" eller utsmøring av bildet
- Utfordring: bevare kanter samtidig som homogene områder glattes.

20.03.2012

INF2310

35

## Egenskaper ved konvolusjon

- Kommutativ  
 $f*g = g*f$
- Assosiativ  
 $(f*g)*h = f*(g*h)$
- Distributiv  
 $f*(g+h) = (f*g) + (f*h)$
- Assosiativ ved skalar multiplikasjon  
 $a(f*g) = (af)*g = f*(ag)$
- Kan utnyttes i sammensatte konvolusjoner !

20.03.2012

INF2310

34

## Ikke-uniformt lavpass-filter

- Uniforme lavpass-filtre kan implementeres raskt.
- Ikke-uniforme filtre, for eksempel:
  - 2D Gauss-filter:
$$h(x, y) = \exp\left(-\frac{(x^2 + y^2)}{2\sigma^2}\right)$$
  - Parameter  $\sigma$  er standard-avviket(bredden)
  - Filterstørrelse må tilpasses  $\sigma$

20.03.2012

INF2310

36

## Median-filter

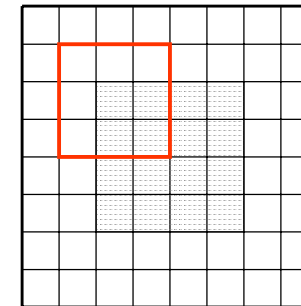
- $g(x,y) = \text{median}$  av verdiene i et vindu rundt inn-pikslet.
- Median = den midterste verdien i sortert liste.
- Vindu: kvadrat, rektangel, pluss.
- Rask implementasjon kan gjøres vha. histogram, med histogramoppdatering etter hvert som vinduet flyttes.
- Et av de mest brukte kant-bevarende støy-filtre.
- Spesielt godt til å fjerne impuls-støy ("salt og pepper")
- Problemer:
  - Tynne kanter kan forsvinne
  - Hjørner kan rundes av
  - Objekter kan bli litt mindre
- Valg av vindus-størrelse og form er viktig!

20.03.2012

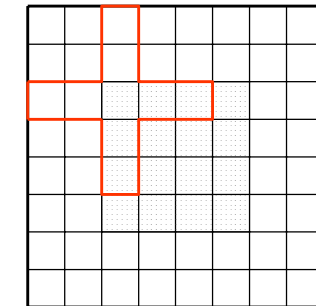
INF2310

37

## Median og hjørner



Med kvadratisk vindu  
rundes hjørnet av



Med "pluss"-vindu  
bevares hjørnet

20.03.2012

INF2310

38

## Høypass-filtre

- Slipper gjennom høye frekvenser.
- Demper eller fjerner lav-frekvente variasjoner.
- Effekt:
  - Fjerner langsomt varierende bakgrunn
  - Framheve kanter, linjer og skarpe detaljer.

20.03.2012

INF2310

39

## Høypass-filtre

- Et høypass-filter må ha positive vekter i midten, og negative vekter lenger ut.
$$\begin{bmatrix} -1 & -1 & -1 \\ -1 & 8 & -1 \\ -1 & -1 & -1 \end{bmatrix}$$
- Vi lar summen av vektene være null.
  - Hvorfor er dette lurt?
- Hvis vi lar middelverdien av ut-bildet bli null, må noen deler av ut-bildet være  $<0$ .
- Det er ingen god ide å benytte  $|g(x,y)|$ .
- For framvisning, skaler  $g(x,y)$  og legg til en konstant slik at vi får positive pikselverdier.

20.03.2012

INF2310

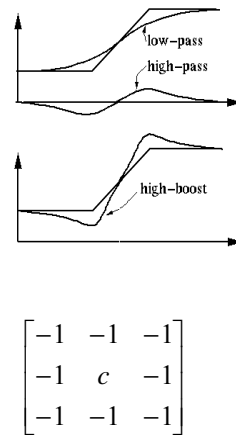
40

## "High-boost" filtrering

- Høypass-filtrering kan utføres ved

$$\text{Høypass} = \text{Original} - \text{Lavpass}$$

$$\begin{bmatrix} -1 & -1 & -1 \\ -1 & 8 & -1 \\ -1 & -1 & -1 \end{bmatrix} = \begin{bmatrix} 0 & 0 & 0 \\ 0 & 9 & 0 \\ 0 & 0 & 0 \end{bmatrix} - \begin{bmatrix} 1 & 1 & 1 \\ 1 & 1 & 1 \\ 1 & 1 & 1 \end{bmatrix}$$



- Adder høypass-resultatet til originalen, og få et "High-boost" bilde

$$\begin{bmatrix} -1 & -1 & -1 \\ -1 & 8 & -1 \\ -1 & -1 & -1 \end{bmatrix} + \begin{bmatrix} 0 & 0 & 0 \\ 0 & 1 & 0 \\ 0 & 0 & 0 \end{bmatrix} = \begin{bmatrix} -1 & -1 & -1 \\ -1 & 9 & -1 \\ -1 & -1 & -1 \end{bmatrix}$$

- Legg forskjellige vekter på de to bildene, og få et "veiet high boost" bilde.

20.03.2012

INF2310

41

## Digitale gradient-operatorer

- Vi husker at den deriverte av  $f(x)$  er gitt ved

$$\lim_{h \rightarrow 0} \frac{f(x+h) - f(x)}{h}$$

- I våre digitale bilder setter vi  $h \geq 1$ .

- Vi får da en gruppe av operator som approksimerer de ortogonale gradient-komponentene  $\delta F(x,y)/\delta x$  og  $\delta F(x,y)/\delta y$

- Noen operatorer gir bare estimat av gradient-magnituden.
- Andre gir også gradient-retningen.

- Gitt to digitale filtermasker  $H_x$  og  $H_y$ ,

- Disse to konvolveres med bildet  $F(i,j)$  og måler gradient komponentene  $g_x$  og  $g_y$  i en omegn om  $(i,j)$  i bildet.

20.03.2012

INF2310

43

## "Unsharp masking"

- Middelverdfilter => uskarpt bilde.
- Subtraher uskarpt bilde fra originalen.
- Adder differanse til originalen.
- Resultatet er skarpere enn originalen.



20.03.2012

INF2310

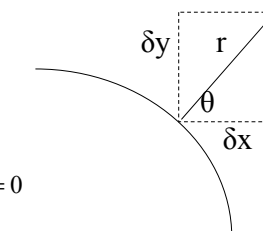
42

## Gradient i et kontinuerlig bilde

- Gradienten til  $F$  langs  $r$  i retning  $\theta$

$$\frac{\partial F}{\partial r} = \frac{\partial F}{\partial x} \frac{\partial x}{\partial r} + \frac{\partial F}{\partial y} \frac{\partial y}{\partial r}$$

dvs.  $\frac{\partial F}{\partial r} = \frac{\partial F}{\partial x} \cos \theta + \frac{\partial F}{\partial y} \sin \theta$



- Gradienten er størst når  $\frac{\partial}{\partial \theta} \left( \frac{\partial F}{\partial r} \right) = 0$

- Dvs. for den vinkelen  $\theta_g$  der

$$-\frac{\partial F}{\partial x} \sin \theta_g + \frac{\partial F}{\partial y} \cos \theta_g = 0 \Leftrightarrow \frac{\partial F}{\partial y} \cos \theta_g = \frac{\partial F}{\partial x} \sin \theta_g$$

- Men  $\delta F/\delta x$  og  $\delta F/\delta y$  er bare de ortogonale gradient-komponentene  $g_x$  og  $g_y$  i hhv. x- og y-retning i bildet.

20.03.2012

INF2310

44

## Gradient i kontinuerlig bilde - II

- Vi gjentar: Gradienten er størst for den vinkelen  $\theta_g$  der

$$\frac{\partial F}{\partial y} \cos \theta_g = \frac{\partial F}{\partial x} \sin \theta_g \Rightarrow \frac{\sin \theta_g}{\cos \theta_g} = \frac{\frac{\partial F}{\partial y}}{\frac{\partial F}{\partial x}} \Rightarrow \tan \theta_g = \frac{g_y}{g_x}$$

- Derfor: Retningen til kanten relativt til x-aksen er gitt ved

$$\theta_g = \tan^{-1}\left(\frac{g_y}{g_x}\right)$$

- Og gradient-magnituden er gitt ved kvadratroten av summen av kvadratene av de to gradient-komponentene:

$$\left(\frac{\partial F}{\partial r}\right) = [g_x^2 + g_y^2]^{1/2}$$

20.03.2012

INF2310

45

## Noen gradient-operatorer - II

- Prewitt-operatoren

$$H_x(i, j) = \begin{bmatrix} 1 & 0 & -1 \\ 1 & 0 & -1 \\ 1 & 0 & -1 \end{bmatrix} \quad H_y(i, j) = \begin{bmatrix} -1 & -1 & -1 \\ 0 & 0 & 0 \\ 1 & 1 & 1 \end{bmatrix}$$

- Sobel-operatoren

$$H_x(i, j) = \begin{bmatrix} 1 & 0 & -1 \\ 2 & 0 & -2 \\ 1 & 0 & -1 \end{bmatrix} \quad H_y(i, j) = \begin{bmatrix} -1 & -2 & -1 \\ 0 & 0 & 0 \\ 1 & 2 & 1 \end{bmatrix}$$

- Frei-Chen-operatoren

$$H_x(i, j) = \begin{bmatrix} 1 & 0 & -1 \\ \sqrt{2} & 0 & -\sqrt{2} \\ 1 & 0 & -1 \end{bmatrix} \quad H_y(i, j) = \begin{bmatrix} -1 & -\sqrt{2} & -1 \\ 0 & 0 & 0 \\ 1 & \sqrt{2} & 1 \end{bmatrix}$$

20.03.2012

INF2310

47

## Noen gradient-operatorer - I

- "Pixel difference"

$$H_x(i, j) = \begin{bmatrix} 0 & 0 & 0 \\ 0 & 1 & -1 \\ 0 & 0 & 0 \end{bmatrix} \quad H_y(i, j) = \begin{bmatrix} 0 & -1 & 0 \\ 0 & 1 & 0 \\ 0 & 0 & 0 \end{bmatrix}$$

- "Separated pixel difference"

$$H_x(i, j) = \begin{bmatrix} 0 & 0 & 0 \\ 1 & 0 & -1 \\ 0 & 0 & 0 \end{bmatrix} \quad H_y(i, j) = \begin{bmatrix} 0 & -1 & 0 \\ 0 & 0 & 0 \\ 0 & 1 & 0 \end{bmatrix}$$

- Roberts-operatoren

$$H_x(i, j) = \begin{bmatrix} 0 & 0 & -1 \\ 0 & 1 & 0 \\ 0 & 0 & 0 \end{bmatrix} \quad H_y(i, j) = \begin{bmatrix} -1 & 0 & 0 \\ 0 & 1 & 0 \\ 0 & 0 & 0 \end{bmatrix}$$

20.03.2012

INF2310

46

## Separasjon av gradient-filtre

- Separasjon av Prewitt-operatoren:

$$h_x = \begin{bmatrix} 1 & 0 & -1 \\ 1 & 0 & -1 \\ 1 & 0 & -1 \end{bmatrix} = [1 \ 0 \ -1] * \begin{bmatrix} 1 \\ 1 \\ 1 \end{bmatrix}, \quad h_y = \begin{bmatrix} -1 & -1 & -1 \\ 0 & 0 & 0 \\ 1 & 1 & 1 \end{bmatrix} = \begin{bmatrix} -1 \\ 0 \\ 1 \end{bmatrix} * [1 \ 1 \ 1]$$

- Separasjon av Sobel-operatoren:

$$h_x = \begin{bmatrix} 1 & 0 & -1 \\ 2 & 0 & -2 \\ 1 & 0 & -1 \end{bmatrix} = [1 \ 0 \ -1] * \begin{bmatrix} 1 \\ 2 \\ 1 \end{bmatrix}, \quad h_y = \begin{bmatrix} -1 & -2 & -1 \\ 0 & 0 & 0 \\ 1 & 2 & 1 \end{bmatrix} = \begin{bmatrix} -1 \\ 0 \\ 1 \end{bmatrix} * [1 \ 2 \ 1]$$

- Separasjon av Frei-Chen:

$$h_x = \begin{bmatrix} 1 & 0 & -1 \\ \sqrt{2} & 0 & -\sqrt{2} \\ 1 & 0 & -1 \end{bmatrix} = [1 \ 0 \ -1] * \begin{bmatrix} 1 \\ \sqrt{2} \\ 1 \end{bmatrix}, \quad h_y = \begin{bmatrix} -1 & -\sqrt{2} & -1 \\ 0 & 0 & 0 \\ 1 & \sqrt{2} & 1 \end{bmatrix} = \begin{bmatrix} -1 \\ 0 \\ 1 \end{bmatrix} * [1 \ \sqrt{2} \ 1]$$

20.03.2012

INF2310

48

## Implementasjoner av en gradient-operator

- Større filtre gir mindre følsomhet for støy.
- Sobel (og de andre operatorene) kan utvides til større enn  $3 \times 3$ .
- Her er en  $5 \times 5$  Sobel operator:

$$h_x = \begin{bmatrix} 1 & 2 & 0 & -2 & -1 \\ 4 & 8 & 0 & -8 & -4 \\ 6 & 12 & 0 & -12 & -6 \\ 4 & 8 & 0 & -8 & -4 \\ 1 & 2 & 0 & -2 & -1 \end{bmatrix}$$

Krever 50 multiplikasjoner

$$h_y = \begin{bmatrix} -1 & -4 & -6 & -4 & -1 \\ -2 & -8 & -12 & -8 & -2 \\ 0 & 0 & 0 & 0 & 0 \\ 2 & 8 & 12 & 8 & 2 \\ 1 & 4 & 6 & 4 & 1 \end{bmatrix}$$

- Denne kan implementeres som

$$h_x = \begin{bmatrix} 1 & 0 & -1 \\ 2 & 0 & -2 \\ 1 & 0 & -1 \end{bmatrix} * \begin{bmatrix} 1 & 2 & 1 \\ 2 & 4 & 2 \\ 1 & 2 & 1 \end{bmatrix} \quad h_y = \begin{bmatrix} -1 & -2 & -1 \\ 0 & 0 & 0 \\ 1 & 2 & 1 \end{bmatrix} * \begin{bmatrix} 1 & 2 & 1 \\ 2 & 4 & 2 \\ 1 & 2 & 1 \end{bmatrix}$$

Krever 36 multiplikasjoner

20.03.2012

INF2310

49

## Implementasjoner av en gradient-operator II

- De to  $3 \times 3$  filtrene er separable, og kan skrives

$$h_x = [1 \ 0 \ -1] * \begin{bmatrix} 1 \\ 2 \\ 1 \end{bmatrix} * [1 \ 2 \ 1] * \begin{bmatrix} 1 \\ 2 \\ 1 \end{bmatrix} \quad h_y = [1 \ 2 \ 1] * \begin{bmatrix} -1 \\ 0 \\ 1 \end{bmatrix} * [1 \ 2 \ 1] * \begin{bmatrix} 1 \\ 2 \\ 1 \end{bmatrix}$$

Krever 24 multiplikasjoner

- Eller vi kan skrive

$$h_x = [1 \ 1] * [1 \ -1] * \begin{bmatrix} 1 \\ 1 \end{bmatrix} * [1 \ 1] * [1 \ 1] * \begin{bmatrix} 1 \\ 1 \end{bmatrix} \quad h_y = [1 \ 1] * [1 \ 1] * \begin{bmatrix} 1 \\ 1 \end{bmatrix} * \begin{bmatrix} -1 \\ 1 \end{bmatrix} * [1 \ 1] * [1 \ 1] * \begin{bmatrix} 1 \\ 1 \end{bmatrix}$$

Krever 32 multiplikasjoner

- Raskeste blir

$$h_x = [1 \ 2 \ 0 \ -2 \ -1] * \begin{bmatrix} 1 \\ 4 \\ 6 \\ 4 \\ 1 \end{bmatrix} \quad h_y = [1 \ 4 \ 6 \ 4 \ 1] * \begin{bmatrix} -1 \\ -2 \\ 0 \\ 2 \\ 1 \end{bmatrix}$$

Krever bare 20 multiplikasjoner

20.03.2012

INF2310

50

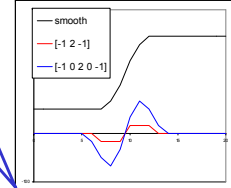
## Laplace-operatoren



- Laplace-operatoren er gitt ved:

$$\nabla^2(f(x, y)) = \frac{\partial^2 f}{\partial x^2} + \frac{\partial^2 f}{\partial y^2}$$

- Den endrer fortegn der  $f(x, y)$  har et infleksjons-punkt / vendepunkt.
- $|\nabla^2 f|$  har to ekstremverdier idet vi passerer en kant
- $\nabla^2 f = 0$  markerer kant-posisjon.



- Kantens eksakte posisjon finnes ved nullgjennomgangen.
- Dette gir ikke brede kanter.
- Vi finner bare magnitude, ikke retning.

20.03.2012

INF2310

51

## Flere Laplace-operatører

- Merk at Laplace-operatorene kan uttrykkes som senter-verdi minus et (veiet) middel over et lokalt naboskap.

- 1D  $\nabla^2 f(i) = -f(i-1, j) + 2f(i, j) - f(i+1, j) = 3f(i) - \sum_{j=i-1}^{i+1} f(j)$

- 2D "pluss"  $\begin{bmatrix} 0 & -1 & 0 \\ -1 & 4 & -1 \\ 0 & -1 & 0 \end{bmatrix} = \begin{bmatrix} 0 & 0 & 0 \\ 0 & 5 & 0 \\ 0 & 0 & 0 \end{bmatrix} - \begin{bmatrix} 0 & 1 & 0 \\ 1 & 1 & 1 \\ 0 & 1 & 0 \end{bmatrix}$

- 2D "kvadrat"  $\begin{bmatrix} -1 & -1 & -1 \\ -1 & 8 & -1 \\ -1 & -1 & -1 \end{bmatrix} = \begin{bmatrix} 0 & 0 & 0 \\ 0 & 9 & 0 \\ 0 & 0 & 0 \end{bmatrix} - \begin{bmatrix} 1 & 1 & 1 \\ 1 & 1 & 1 \\ 1 & 1 & 1 \end{bmatrix}$

20.03.2012

INF2310

52

## Implementasjoner av en $5 \times 5$ Laplace-operator

- Laplace-operatoren  
 $\nabla^2 = \begin{bmatrix} 2 & 4 & 4 & 4 & 2 \\ 4 & 0 & -8 & 0 & 4 \\ 4 & -8 & -24 & -8 & 4 \\ 4 & 0 & -8 & 0 & 4 \\ 2 & 4 & 4 & 4 & 2 \end{bmatrix}$   
er ikke separabel.

- Men den kan skrives som

$$\nabla^2 = - \begin{bmatrix} 1 & 0 & -2 & 0 & 1 \\ 4 & 0 & -8 & 0 & 4 \\ 6 & 0 & -12 & 0 & 6 \\ 4 & 0 & -8 & 0 & 4 \\ 1 & 0 & -1 & 0 & 1 \end{bmatrix} + \begin{bmatrix} 1 & 4 & 6 & 4 & 1 \\ 0 & 0 & 0 & 0 & 0 \\ -2 & -8 & -12 & -8 & -2 \\ 0 & 0 & 0 & 0 & 0 \\ 1 & 4 & 6 & 4 & 1 \end{bmatrix}$$

som igjen kan skrives som

$$\nabla^2 = - \begin{bmatrix} 1 & 0 & -1 \\ 2 & 0 & -2 \\ 1 & 0 & -1 \end{bmatrix} * \begin{bmatrix} 1 & 0 & -1 \\ 2 & 0 & -2 \\ 1 & 0 & -1 \end{bmatrix} + \begin{bmatrix} -1 & -2 & -1 \\ 0 & 0 & 0 \\ 1 & 2 & 1 \end{bmatrix} * \begin{bmatrix} -1 & -2 & -1 \\ 0 & 0 & 0 \\ 1 & 2 & 1 \end{bmatrix}$$

- Separasjon gir den raskeste implementasjonen: Krever  $2 \times 20$  operasjoner

$$\nabla^2 = -([1 \ 0 \ -2 \ 0 \ 1] * [1 \ 4 \ 6 \ 4 \ 1]^T + [1 \ 4 \ 6 \ 4 \ 1] * [1 \ 0 \ -2 \ 0 \ 1]^T)$$

Krever  $2 \times 25$  operasjoner

Vi ser at

$$\nabla^2 = \frac{\partial^2 f}{\partial x^2} + \frac{\partial^2 f}{\partial y^2}$$

kan finnes ved 2 ganger  
derivasjon med Sobel-filtrene

20.03.2012

INF2310

53

## Fra Laplace til LoG

- Vi gjorde gradient-operatorene støy-robuste
  - ved å bygge inn en lavpassfiltrering. Eksempel: Sobel-operator

$$h_x = \begin{bmatrix} 1 & 0 & -1 \\ 2 & 0 & -2 \\ 1 & 0 & -1 \end{bmatrix} = [1 \ 0 \ -1] * \begin{bmatrix} 1 \\ 2 \\ 1 \end{bmatrix}, h_y = \begin{bmatrix} -1 & -2 & -1 \\ 0 & 0 & 0 \\ 1 & 2 & 1 \end{bmatrix} = \begin{bmatrix} -1 \\ 0 \\ 1 \end{bmatrix} * [1 \ 2 \ 1]$$

- Vi kan gjøre det samme med Laplace-operatoren

- Vi bruker et Gauss-filter G
- Og siden konvolusjon er kommutativ, får vi

$$\nabla^2 * (f * G) = (\nabla^2 * G) * f = LoG * f$$

- Der LoG er resultatet av å anvende Laplace-operatoren på en Gauss-funksjon.

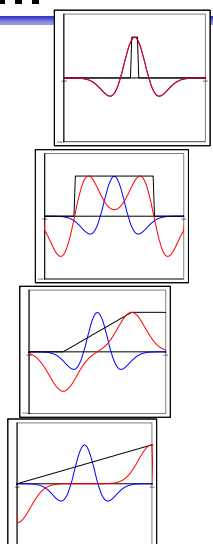
20.03.2012

INF2310

54

## Legg merke til at ...

- En struktur som er smalere enn LoG-kjernen, gir to nullgjennomganger.
- Kjernen bestemmer avstanden mellom dem.
- Hvis strukturen er bredere enn kjernen, men smalere enn filteret, blir kantene riktig detektert.
- På en rampe som er bredere enn kjernen, men smalere enn filteret, finner LoG en nullgjennomgang midt på.
- På ramper som er bredere enn filteret, finner ikke LoG noen nullgjennomgang, bare et nullplatå.



20.03.2012

INF2310

55

## Canny's algoritme

- I Canny's algoritme gjøres kant-lokalisering slik:
  - Lavpass-filtrering med et Gauss-filter (gitt  $\sigma$ ).
  - Gradient-deteksjon med Prewitt eller Sobel-operatoren.
  - Tynning (non-maximal suppression): Hvis et piksel har en nabo med høyere pikselverdi, settes pikselverdien ned.
  - Hysterese-terskling (to terskler  $T_h$  og  $T_l$ )
    - Vansklig å finne en god gradient-terskel for hele bildet.
    - Merk alle piksler der  $G > T_h$
    - Scan alle piksler der  $G \in [T_l, T_h]$
    - Hvis et slikt piksel er nabo til et merket piksel, så merkes dette pikslet også.
    - Gjenta fra trinn 2 til konvergens.

20.03.2012

INF2310

56